

·论著·

腹腔镜辅助手术切除小儿骶尾部畸胎瘤的疗效分析



黄振强 唐华建 郑锦涛 王剑锋 陈一平 李伟燎 刘国庆

【摘要】目的 探讨腹腔镜辅助手术切除小儿Ⅲ、Ⅳ型骶尾部畸胎瘤的可行性、安全性及疗效。
方法 回顾性分析腹腔镜辅助手术治疗的12例骶尾部畸胎瘤患儿的临床资料,其中Ⅲ型8例,Ⅳ型4例。先经腹腔镜游离瘤体的腹腔部分,结扎肿瘤供应血管,再经骶尾部完整切除肿瘤。
结果 12例患儿均顺利完成手术,无一例出现严重并发症。2例术后失访,10例获得半年以上的随访,其中1例复发,其余病例无复发。
结论 腹腔镜辅助小儿骶尾部畸胎瘤切除术是有效、安全、可行、损伤小的手术方法。

【关键词】 腹腔镜检查; 骶尾部; 畸胎瘤; 儿童

Efficacy and feasibility of laparoscopic assisted resection of sacrococcygeal teratoma in children. Huang Zhenqiang, Tang Huajiang, Zheng Jintao, Wang Jianfeng, Chen Yiping, Li Weiliao, Liu Guoging. Department of Pediatric Surgery, Municipal Women and Children's Hospital, Foshan 528000, China.

[Abstract] **Objective** To explore the feasibility, safety and operation points of laparoscopic assisted resection of types Ⅲ and Ⅳ sacrococcygeal teratoma (SCT) in children. **Methods** Twelve SCT children undergoing laparoscopic-assisted resection were analyzed retrospectively. The clinical types were Ⅲ ($n=8$) and Ⅳ ($n=4$). Laparoscopic liberating of intraperitoneal part of tumor and ligation of tumor blood vessels were performed through a sacrococcygeal incision. Then total tumor removal was accomplished. **Results** All operations were completed smoothly without serious complications. Two cases were lost to follow-ups and the remainder was tracked for over 6 months. Only one case recurred. **Conclusion** Laparoscopically assisted resection of SCT is effective, safe and mini-invasive in children.

【Key words】 Laparoscopy; Sacrococcygeal Region; Teratoma; Child

骶尾部畸胎瘤(sacrococcygeal teratoma, SCT)是胎儿及新生儿肿瘤,在出生婴儿中发病率为 $1/40\,000 \sim 1/35\,000$,男女发病比例约 $1:3 \sim 1:4^{[1,2]}$ 。一般起源于原始的潜在多能胚细胞,多发生于胚胎学体腔的中线前轴或中线旁区,如骶尾部、纵膈、腹膜后、性腺等部位^[3]。随年龄增长,肿瘤恶变的几率上升,需尽早手术治疗。目前多采用骶尾部入路,对Ⅲ、Ⅳ型病例多选用腹骶联合切口,腹腔镜手术国内报道较少^[4,5]。本院于2006年8月至2016年1月经腹腔镜辅助对12例Ⅲ、Ⅳ型病例施行骶尾部畸胎瘤切除术,获得满意效果,现总结如下。

材料与方法

一、临床资料

本组12例,其中男童5例,女童7例。年龄1岁7个月至9岁5个月。以骶尾部包块为首发症状7例,排尿排便困难2例,腹胀伴腹部包块2例。按Altman分类法分型,Ⅲ型8例,肿瘤向盆腔内生长,骶尾部和下腹部触及肿瘤;Ⅳ型4例,肿瘤位于骶前,只向盆腔生长。B超、CT或MRI可见腹腔及骶尾部囊实性肿物(图1、图2)。

二、肿瘤诊断和分类标准

组织病理学结果是诊断骶尾部畸胎瘤的金标准,将骶尾部畸胎瘤分为良性畸胎瘤和恶性畸胎瘤,恶性畸胎瘤又分为未成熟型畸胎瘤、胚胎癌、卵黄囊瘤、绒毛膜癌、多胚瘤。根据肿瘤与骶尾骨的关系,分为4型:I型,肿瘤体积绝大多数突出于骶尾部,仅有极小部分位于骶前;II型,瘤体骑跨于骶骨前后,主要部分位于骶骨外,骶前部分未进入腹腔;III型,瘤体骑跨于骶骨前后,以骶前瘤体为主,并可由盆腔延伸至腹腔;IV型,肿瘤多位于骶前,体表外观未见肿瘤^[6]。通常手术入路的选择取决于

肿瘤分型。

三、手术方法

术前行肠道准备3 d(包括半流饮食,口服甲硝唑片),手术前晚及手术当日早晨各清洁灌肠1次。术前禁食8 h,留置胃管和导尿管。采用气管插管静脉复合麻醉。麻醉后先取足高头低仰卧位,提起患儿双足,消毒腹部、会阴、骶尾部及双下肢,无菌敷料包裹患儿双下肢,于骶尾部及腹部无菌状态下铺巾。术者站于患儿左侧,经脐部穿刺腹腔充气,置入5 mm Trocar 及30°腹腔镜,在腹腔镜监视引导下于脐两旁各做3 cm切口,置入两个5 mm Trocar,于右下腹置入一5 mm Trocar。辨清肠管、肿瘤、膀胱、输尿管、髂血管等解剖结构,助手将直肠乙状结肠牵向上方使其系膜紧张,术者沿直肠一侧切开后腹膜,用电钩切开肿瘤与直肠、骨盆侧壁及骶前筋膜粘连的血管和结缔组织。骶中血管应用Hemolok

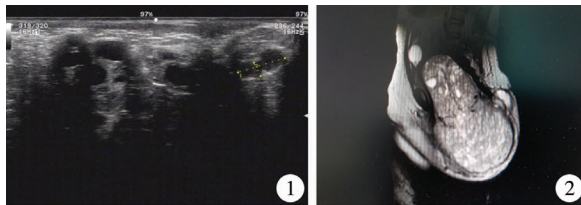


图1 骶尾部畸胎瘤超声图像 图2 骶尾部畸胎瘤磁共振图像

Fig.1 Ultrasonic image of sacrococcygeal teratoma **Fig.2** Magnetic resonance image of sacrococcygeal teratoma **Fig.3** Laparoscopic separation of tumor **Fig.4** Gross appearance of tumor

结扎后切断。然后沿肿瘤包膜前方、两侧及后方交替向尾侧游离瘤体(图3),至第3、4骶骨以下平面。结束腹腔操作部分,改骶尾部手术。助手扶持患儿双下肢,保持其下肢屈曲靠近躯干,显露骶尾部,在骶后尾骨上做倒“V”形切口,逐层切开至臀大肌表面,必要时切开部分臀大肌,游离肿瘤周围粘连,切断尾骨,将肿瘤及其附着的尾骨向下牵引后,向上分离其与骨盆侧壁和骶前的粘连,最终完整切除肿瘤和尾骨(图4)。向深面分离至打开盆膈时均在坐骨结节范围内,前方避免损伤直肠,必要时直肠内置入引导物,后方避免损伤骶尾部血管和神经。清理创面后修复盆底、固定直肠、修复死腔,骶前放置引流管1根。重新于腹腔镜下检查腹腔内有无出血,如有出血,则腹腔镜下彻底止血,无需关闭盆腔腹膜反折,盆腔放置引流管1根。术后定期复查,做直肠指诊并监测血清甲胎蛋白水平。

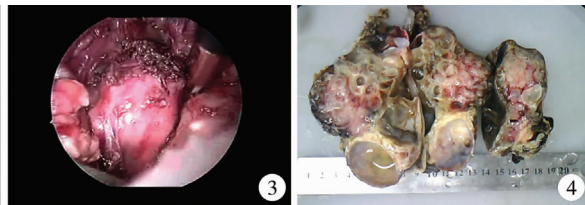


图3 镜下游离肿瘤 图4 肿瘤大体外观

访,随访时间为4~58个月,平均随访时间为36个月。其中7例获随访的良性畸胎瘤均未出现复发情况;2例卵黄囊瘤术后化疗期间随访未见复发;1例未成熟型畸胎瘤患儿于术后1年9个月复发,家属放弃治疗,现失访。

结 果

所有病例均于腹腔镜下完成手术。平均手术时间176 min,术中出血量平均为37 mL。1例因肿瘤较大,粘连紧密,导致创面渗血较多,但仍能在腹腔镜下完成腹腔肿瘤切除。术中有2例伤及直肠后壁,但未穿透黏膜,予以修补,术后未发现肠瘘。术后3例出现伤口皮缘坏死,经换药痊愈,无大便失禁等其他严重并发症。术后平均住院时间8.5 d。术后病理诊断:成熟型畸胎瘤(图5)7例,未成熟型畸胎瘤(图6)1例,恶性畸胎瘤(图7)4例。

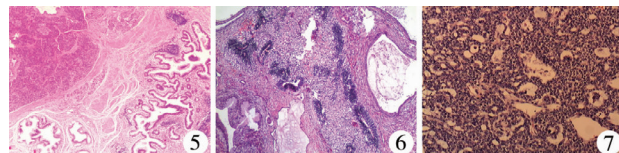


图5 成熟型畸胎瘤 图6 未成熟型畸胎瘤 图7 卵黄囊瘤

Fig.5 Mature teratoma **Fig.6** Immature teratoma **Fig.7** Yolk sac tumor

截止2016年1月,共10例获得随访,2例失

讨 论

骶尾部是畸胎瘤最常见的发病部位,可发生于任何年龄,以新生儿及婴幼儿最多见。I型与II型经骶尾部切口多能完全切除,而大部分III型及部分瘤体较大的IV型病例则很难单纯经骶尾部完成手术,手术多采用腹骶联合切口。经腹部手术损伤大,小儿盆腔空间狭小,对较大的肿瘤分离与暴露困难,加之盆腔脏器复杂,故虽然目前骶尾部畸胎瘤的手术方式已较成熟,但术中存在骶前神经、直肠、膀胱、输尿管、大血管损伤的风险,术后仍有伤口感染、大便失禁、皮瓣坏死等并发症发生。

近年来,随着腹腔镜技术的发展,其运用于成人骶尾部畸胎瘤手术可以达到安全、完整切除、恢

复快和并发症少的效果^[7]。但腹腔镜切除腹膜后肿瘤难度大,对手术者的技术要求非常高,特别是骶尾部畸胎瘤,其位置深,前有直肠和(或)乙状结肠,后有骶前血管,两侧有输尿管,使腹腔镜下手术难度更大,术中容易发生大出血和重要脏器损伤^[8]。经查阅文献,国内外关于小儿骶尾部畸胎瘤腹腔镜手术治疗的报道较少^[4,5,9,10]。可能与小儿腹腔空间小,手术操作难度大,对术者的手术水平及器械要求非常高,技术应用受限有关。加之手术时间延长对麻醉及术中监护的要求高,也限制了腹腔镜技术在小儿骶尾部畸胎瘤手术中的应用。目前,本院完成腹腔镜辅助手术切除骶尾部畸胎瘤12例,无1例患儿术中、术后未出现严重并发症,术后恢复快,腹部切口瘢痕小,美容效果好。

对于腹腔镜辅助下骶尾部畸胎瘤切除术,我们的体会如下:①对于盆腔手术,常规采用头低足高位,肠管向头端移动,方便暴露视野。②术前辨认清楚腹腔及盆腔关键解剖结构,必要时于小儿膀胱镜下插入F3输尿管导管于双侧输尿管,可有效避免术中损伤输尿管。③小儿腹腔空间小,易造成暴露困难及操作器械上的相互碰撞。故我们选择操作孔切口时,脐部Trocar置于脐环上缘,放置监视镜;主刀的两个操作Trocar置于脐部两侧,避免放置于脐同一侧,以达到最好操作空间,至于第4个Trocar,我们习惯放置于右下腹,方便助手用腹腔镜钳提起结肠或乙状结肠,并避开主刀的操作区域。④当瘤体巨大,压迫盆壁,可抽吸出瘤内囊性成份,缩小瘤体,利于手术操作。⑤因早期缺乏超声刀,分离肿瘤时分别采用钝性和锐性分离,在靠近输尿管、髂血管等关键部位采用钝性分离为主,常用吸引器头钝性游离,因吸引器头属钝性,避免锐性切割,并可边吸引边分离;待肿瘤与重要组织分离后,对瘤体表面的出血点再用腹腔镜钳或电钩电凝止血。⑥在游离腹腔内瘤体过程中推开肿瘤造成间隙,用电钩紧贴瘤体电凝,即可锐性切断其与周围组织间的粘连。⑦分离肿瘤与直肠时,可于直肠内置入手指或肛管作为指引物,以减少手术中误伤直肠壁的风险^[11]。⑧腹腔镜下游离结束后,我们暂不关闭腹腔切口,将小儿双下肢立起,并向头侧屈曲,仰卧位下暴露骶尾部,避免术中改变体位,以及俯卧位带来的对心肺长时间的压迫,影响术中心肺功能;关闭骶尾部切口后,再次腹腔镜检查盆腔出血情况及有无副损伤,常规放置盆腔引流管,可以避免先放置盆腔引流管,再骶尾部入路手术造成盆腔

引流管移位的情况。同时我们也将该体位用于腹腔镜肛门闭锁及腹腔镜巨结肠的手术,效果良好。⑨目前成人病例中已有腹腔镜下完整切除骶尾部畸胎瘤,避免骶尾部切口的报道;因小儿腹腔空间小,难以直接于腹腔镜下完整游离肿瘤至尾骨尖并切除尾骨,而尾骨未切除是骶尾部畸胎瘤术后复发的高危因素^[12]。因此,小儿需常规于骶尾部入路,做倒“V”型切口,完全切除尾骨,避免复发。

伤口感染、大便失禁、皮瓣坏死和复发等是骶尾部畸胎瘤术后常见的并发症。其中伤口感染、皮瓣坏死较为常见,与切口靠近肛门,皮瓣广泛分离,术后皮下积血积液导致皮瓣缺血坏死感染,以及肿瘤切除后残留腔隙有关。术中切除肿瘤后,将其骶前组织缝合悬吊在骶骨上减小或消灭死腔,重建肛尾韧带,将其固定在骶骨较高位置上,用7号丝线将皮瓣中央与骶前筋膜缝合2~3针,放置骶前引流管,加压包扎伤口。同时通过固定直肠,恢复肛提肌和臀部肌肉,可有效防止术后大便失禁、直肠脱垂的发生。目前,骶尾部畸胎瘤总体治疗效果较好,5年生存率在81%~97%,但复发后生存率仅45%~58%,完整切除是防止术后复发的关键,对于肿瘤周围形态或质地异常的组织需一并切除^[13~15]。本组病例术后发生切口皮缘坏死3例,均发生于早期病例,后期重视切除肿瘤后修复盆底,未再出现皮瓣坏死。

骶尾部畸胎瘤手术后应定期行肛门指检和血清AFP值测定。AFP常作为术后随访中评估治疗效果和判断术后有无复发的重要指标。本组随访1例未成熟畸胎瘤,术后AFP未能下降至完全正常,术后1年AFP再次升高,术后1年9个月发现复发灶。其余9例随访期间AFP值一直保持在正常水平,影像学检查未见复发灶。因随访时间短,尚缺乏长期、大样本随访病例。而临幊上不乏术后复发病例,Derikx^[16]报道173例骶尾部畸胎瘤患儿,其中19例复发,4例成熟性畸胎瘤发生远处转移,6例复发肿瘤有明显恶性转化。故无论是良性或恶性畸胎瘤,术后随访非常重要。

综上所述,腹腔镜辅助手术切除骶尾部畸胎瘤具有安全性高、手术损伤小等优点,值得临幊推广和应用。

参 考 文 献

- Winder LM, Silverman RK. Prenatal identification of a com-

- pletely cystic internal sacrococcygeal teratoma (type IV) [J]. Ultrasound Obstet Gynecol, 1997, 9(6): 425–428. DOI: 10.1046/j.1469-0705.1997.09060425.x.
- 2 Swamy R, Embleton N, Hale J. Sacrococcygeal teratoma over two decades: birth prevalence, prenatal diagnosis and clinical outcomes [J]. Prenat Diagn, 2008, 28(11): 1048–1051. DOI: 10.1002/pd.2122.
- 3 张金哲,潘少川,黄澄如. 实用小儿外科学[M]. 杭州,浙江科学技术出版社,2003:12.
Zhang JZ, Pan SC, Huang CR. Editors-in-chief, Practical Pediatric Surgery[M]. Hangzhou, Zhejiang Science & Technology Press, 2003:12.
- 4 刘国庆,唐华建,白立芳,等. 腹腔镜辅助技术在小儿骶尾部手术中的应用[J]. 临床小儿外科杂志,2007,6(6):47–49. DOI: 10.3969/j.issn.1671-6353.2007.06.019.
Liu GQ, Tang HJ, Bai LF, et al. Application of laparoscopic assisted technique in children's sacrococcygeal surgery[J]. J Clin Ped Sur, 2007, 6(6): 47–49. DOI: 10.3969/j.issn.1671-6353.2007.06.019.
- 5 王勇,汤绍涛,李金鹏. 腹腔镜辅助下小儿骶尾部畸胎瘤切除术15例[J]. 中国小儿血液和肿瘤杂志,2011,16(6):274–276. DOI: 10.3969/j.issn.1673-5323.2011.06.010.
Wang Y, Tang ST, Li JP. Laparoscopically assisted resection of the orbital teratoma in children: A report of 15 cases[J]. J China Pediatr Blood Cancer, 2001, 16(6): 274–276. DOI: 10.3969/j.issn.1673-5323.2011.06.010.
- 6 施诚仁,金先庆,李仲智. 小儿外科学第4版[M]. 北京,人民卫生出版社,2009:8.
Shi CR, Jin XQ, Li ZZ. Editors-in-chief. Pediatric Surgery, 4th Edition [M]. People's Health Publishing House, 2009:8.
- 7 Tsutsui A, Nakamura T, Mitomi H, et al. Successful laparoscopic resection of a sacrococcygeal teratoma in an adult: report of a case[J]. Sur Today, 2011, 41(4):572–575. DOI: 10.1007/s00595-010-4274-4.
- 8 徐惠成,王丹,王延洲,等. 腹腔镜骶尾部畸胎瘤切除术的临床应用[J]. 第三军医大学学报,2010,32(11):1220–1222. DOI: 10.16016/j.1000-5404.2010.11.034.
Xu HC, Wang D, Wang YZ, et al. Clinical application of laparoscopic sacrococcygeal teratoma resection [J]. Journal of Third Military Medical University, 2010, 32(11): 1220–1222. DOI: 10.16016/j.1000-5404.2010.11.034.
- 9 Chen Y, Xu H, Li Y, et al. Laparoscopic resection of presacral teratomas[J]. J Minim Invasive Gynecol, 2008, 15:649–651. DOI: 10.1016/j.jmig.2008.06.011.
- 10 Lee KH, Tam YH, Chan KW, et al. Laparoscopic-assisted excision of sacrococcygeal teratoma in children[J]. J Laparoendosc Adv Surg Tech A, 2008, 18: 296–301. DOI: 10.1089/lap.2007.0011.
- 11 严萍,徐亚娟,路长贵,等. 新生儿骶尾部畸胎瘤术后肛门直肠功能随访[J]. 临床小儿外科杂志,2018,17(1): 13–17. DOI: 10.3969/j.issn.1671-6353.2018.01.004.
Yan P, Xu YJ, Lu CC, et al. Post-operative follow-up of sacrococcygeal teratoma in the neonate: anorectal function sequelae[J]. J Clin Ped Sur, 2018, 17(1): 13–17. DOI: 10.3969/j.issn.1671-6353.2018.01.004.
- 12 Gurda GT, Vanden Bussche CJ, Yonescu R, et al. Sacrococcygeal teratomas: clinico-pathological characteristics and isochromosome 12p status[J]. Mod Pathol, 2014, 27(4): 562–568. DOI: 10.1038/modpath01.2013.171.
- 13 Ho KO, Sotmdappan SV, Walker K, et al. Sacrococcygeal teratoma: the 13-year experience of a tertiary paediatric centre[J]. J Paediatr Child Health, 2011, 47(5): 287–291. DOI: 10.1111/j.1440-1754.2010.01957.x.
- 14 Mann JR, Gray ES, Thornton C, et al. Mature and immature Extracranial teratomas in children: the UK Children's Cancer Study Group Experience [J]. J Clin Oncol, 2008, 26(21): 3590–3597. DOI: 10.1200/JCO.2008.16.0622.
- 15 Imamoglu M, Cay A, Saruhan H, et al. Paravesical suture granuloma simulating a local recurrence of the immature sacrococcygeal teratoma [J]. J Pediatr Surg, 2005, 40(3): 584–585. DOI: 10.1016/j.jpedsurg.2004.11.018.
- 16 Derikx JP, De Backer A, van de Schoot L, et al. Factors associated with recurrence and metastasis in sacrococcygeal teratoma[J]. Br J Surg, 2006, 93(12): 1543–1548. DOI: 10.1002/bjs.5379.

(收稿日期:2018-02-26)

本文引用格式:黄振强,唐华建,郑锦涛,等.腹腔镜辅助手术切除小儿骶尾部畸胎瘤的疗效分析[J].临床小儿外科杂志,2018,17(8):607–610. DOI: 10.3969/j.issn.1671-6353.2018.08.012.

Citing this article as: Huang ZQ, Tang HJ, Zheng JT, et al. Efficacy and feasibility of laparoscopic assisted resection of sacrococcygeal teratoma in children[J]. J Clin Ped Sur, 2018, 17(8): 607–610. DOI: 10.3969/j.issn.1671-6353. 2018.08.012.